

# SINTEZA ȘI CARACTERIZAREA UNOR PULBERI FERUGINOASE DESTINATE DEPOLUĂRII APELOR CU CONȚINUT DE ARSEN

## SYNTHESIS AND CHARACTERIZATION OF SOME FERRUGINOUS POWDERS DESIGNED FOR THE DEPOLLUTION OF WATERS WITH ARSENIC CONTENT

RADU LAZĂU\*, LAVINIA LUPA, IOAN LAZĂU, PETRU NEGREA, CORNELIA PĂCURARIU

<sup>1</sup>Universitatea "Politehnica" Timișoara, Piața Victoriei nr.2, Timișoara 300006

*Au fost obținute și caracterizate pulberi feruginoase în vederea tratării apelor cu conținut de arsen. Pulberile au fost sintetizate prin metoda combustiei, respectiv prin descompunerea unor săruri de fier, apoi analizate din punct de vedere al compoziției fazale, comportării în timpul tratamentului termic, suprafeței specifice și proprietăților adsorbante față de As<sup>3+</sup>. S-a urmărit efectul adăosului de SiO<sub>2</sub>, respectiv Al<sub>2</sub>O<sub>3</sub>, asupra capacitații de adsorbție a materialelor obținute. Comportarea acestora oferă perspective promițătoare în ceea ce privește utilizarea în scopul depoluării apelor de adâncime cu un fond natural ridicat de arsen.*

*There have been obtained and characterized ferruginous powders designed for the depollution of water containing arsenic. The powders have been obtained via combustion synthesis and iron salts decomposition, than analyzed in terms of phase composition, thermal analysis, surface area and adsorbent properties relative to As<sup>3+</sup>. The effect of SiO<sub>2</sub> and Al<sub>2</sub>O<sub>3</sub> additions upon the adsorption capacity of the obtained materials has been pursued. It has been concluded that these materials may be successfully used in the depollution of underground waters with a high arsenic content.*

**Keywords:** chemical preparation, X-ray methods, surfaces, As<sup>3+</sup> adsorption, water depollution

### 1. Introducere

Pericolul asociat cu expunerea pe termen lung la acțiunea arsenului este binecunoscut, cele mai uzuale probleme de sănătate care apar la populație în aceste condiții fiind afecțiuni ale pielii dar și ale organelor interne (cancer al vezicii, rinichilor și plămânilor), cardiovascular, respiratorii, diabet, etc. Sursele subterane de apă potabilă sunt considerate ca fiind una dintre cele mai importante cauze responsabile de problemele de sănătate cronice legate de intoxicația populației cu arsen, la nivel mondial [1 – 5]. Formele sub care se găsește arsenul în sursele de apă potabilă sunt As(V) și mai frecvent As(III), acesta din urmă fiind și mai toxic [6 – 8].

Îndepărarea arsenului din apă reprezintă o preocupare importantă și urgentă, în acest sens dezvoltându-se în prezent o serie de tehnici.

Acestea includ procese de coagulare-precipitare, separare prin membrane, schimb ionic și adsorbție. Tehnicile bazate pe coagulare sunt însă în general costisitoare și au o eficiență destul de redusă dacă nu se face în prealabil oxidarea A(III) la As(V). De asemenea, osmoza inversă și electrodializa sunt mai eficiente în îndepărarea As(V) decât a As(III) [9, 10]. Pe lângă dezavantajul costurilor ridicate aceste abordări

### 1. Introduction

The danger associated with long-time exposure to arsenic is well known. Most usual health problems due to arsenic poisoning are skin diseases, diabetes, respiratory and heart conditions, but internal organs are also affected (bladder, kidney and lung cancer). Underground drinking water resources are being considered as one of the most important causes responsible of the chronic health conditions related to arsenic poisoning worldwide [1-5]. Arsenic may be found in these sources as As(V) and more frequently as As(III) – the latter being even more toxic [6-8].

Arsenic removal from water represents important and urgent current concerns, which lead to the development of a series of techniques. These include coagulation-precipitation processes, membrane separation, ion exchange and adsorption. The procedures based on coagulation are yet costly and have a reduced efficiency if As(III) is not previously oxidized to As(V). Reversed osmosis and electro dialysis are more efficient for removing As(V) than As(III) [9,10]. Alongside the high cost involved, these approaches do not fit to low capacity water treatment units. Thus, the most frequently used method due to ease of operation and reduced costs is adsorption by a large number

\* Autor corespondent/Corresponding author,  
Tel.: 0256-404167, e-mail: [radulazau@gmail.com](mailto:radulazau@gmail.com)

pentru îndepărtarea arsenului nu se pretează la sistemele de tratare a apelor cu capacitate mici. Astfel metoda cea mai des utilizată, datorită ușurinței de operare și a costurilor reduse, este adsorbția cu multitudinea de adsorbanți folosiți și studiați ca de exemplu oxizi/hidroxizi ai metalelor, zeoliți sintetici, cărbune activ [2-14]. Totuși speciile de arsen prezente în apă limitează performanțele acestor adsorbanți, majoritatea fiind mult mai protriți pentru îndepărtarea As(V) decât a As(III) [12,13]. Astfel se fac eforturi pentru dezvoltarea unui adsorbant corespunzător pentru îndepărtarea As(III) din apele de adâncime. Comportarea oxizilor/hidroxizilor de fier în această privință este intens studiată datorită existenței lor abundente în sistemul acvatic natural și capacitatei ridicate de adsorbție a arsenului [11]. De asemenea, s-a confirmat că în natură prezența compușilor cu fier în anumite medii limitează conținutul natural de arsen al acestora [14]. Mecanismele de îndepărtare a arsenului de către compușii cu fier presupun adsorbția acestuia la suprafața adsorbantului, includerea și legarea arsenului în interiorul floculelor de hidroxid cu formare de arsenat feric  $\text{FeAsO}_4$ , în baza unor reacții de oxido-reducere [12]. Prezenta lucrare are ca scop obținerea și caracterizarea unor pulberi feruginoase eficiente din punct de vedere al tratării apelor în acest mod.

## 2. Determinări experimentale

Pentru obținerea pulberilor feruginoase cu suprafete specifice variabile și cât mai ridicate, astfel încât să prezinte bune proprietăți adsorbante, s-au făcut cercetări în următoarele două direcții:

- a) sinteza  $\text{Fe}_2\text{O}_3$  și a unor pulberi compozite  $\text{Fe}_2\text{O}_3\text{-SiO}_2$ , respectiv  $\text{Fe}_2\text{O}_3\text{-Al}_2\text{O}_3$  și  $\text{Fe}_2\text{O}_3\text{-Al}_2\text{O}_3\text{-SiO}_2$  prin metoda combustiei;
- b) sinteza  $\text{Fe}_2\text{O}_3$  și a unor pulberi compozite  $\text{Fe}_2\text{O}_3\text{-SiO}_2$  prin descompunerea unor săruri de  $\text{Fe}^{3+}$  sau  $\text{Fe}^{2+}$ .

a) *Metoda combustiei* se bazează pe reacția redox care are loc între azotatul de fier, respectiv azotatul de aluminiu (agensi oxidanți) și uree (agent reducător) [15-18]. Alegerea ureei ca și combustibil s-a făcut pe baza unor rezultate anterioare [19-21], care au dovedit că dintre combustibili uzuali (uree, glicină,  $\beta$ -alanină) urea prezintă cea mai bună compatibilitate față de  $\text{Fe}(\text{NO}_3)_3$  și  $\text{Al}(\text{NO}_3)_3$ , în sensul unei reacții puternic exoterme, cu formare de  $\alpha\text{-Fe}_2\text{O}_3$  și  $\alpha\text{-Al}_2\text{O}_3$ .

S-au folosit reactivi de puritate analitică (Merck, Germany)  $\text{Fe}(\text{NO}_3)_3\cdot 9\text{H}_2\text{O}$ ,  $\text{Al}(\text{NO}_3)_3\cdot 9\text{H}_2\text{O}$  și uree, respectiv  $\text{SiO}_2$  sub formă de Ultrasil VN3 (Degussa).

După dozare, azotatul de fier, respectiv de aluminiu și ureea s-au dizolvat într-un volum minim de apă, într-o capsulă de portelan. În cazul probelor cu conținut de  $\text{SiO}_2$ , acesta a fost adăugat la soluția de azotați și uree rezultând o suspensie.

Capsulele cu amestecurile de materii prime

of adsorbents as for example metal oxides/hydroxides, synthetic zeolites, activated charcoal [2-14]. Still, the arsenic species present in the water limit the performance of these adsorbents, most of them being more suitable for the removal of As(V) than As(III). Efforts are being made for the development of an adequate adsorbent for the removal of As(III) from underground water. The behavior of iron oxides/ hydroxides in this respect is intensely studied due to their abundant existence in the natural aquatic system and high arsenic adsorption capacity [11]. Researches also confirmed that the presence of iron compounds in nature in certain environments limits their natural arsenic content [14]. Arsenic removal mechanisms by iron compounds involve adsorption on the adsorbent surface, inclusion and binding of arsenic inside the hydroxide floccules with the formation of ferric arsenate  $\text{FeAsO}_4$ , on account of oxido-reduction reactions [12]. The purpose of the present paper was to obtain and characterize some ferruginous powders efficient for water treatment by arsenic removal via adsorption.

## 2. Experimental

In order to obtain ferruginous powders with surface area as high as possible, and good adsorption capacity investigations have been focused to the following directions:

a) combustion synthesis of  $\text{Fe}_2\text{O}_3$ , respectively  $\text{Fe}_2\text{O}_3\text{-SiO}_2$ ,  $\text{Fe}_2\text{O}_3\text{-Al}_2\text{O}_3$  and  $\text{Fe}_2\text{O}_3\text{-Al}_2\text{O}_3\text{-SiO}_2$ ;

b)  $\text{Fe}_2\text{O}_3$  and composite  $\text{Fe}_2\text{O}_3\text{-SiO}_2$  powders synthesis by thermal decomposition of  $\text{Fe}^{3+}$  or  $\text{Fe}^{2+}$  powders.

a) *Combustion synthesis* is based on the redox reaction between iron nitrate, respectively aluminum nitrate (oxidizing agents) and urea (reducing agent) [15-18]. Urea has been chosen to be used as a fuel based on our previous results, which proved that among the most usual fuels used in this method (urea glycine,  $\beta$ -alanine) urea shows the best compatibility towards  $\text{Fe}(\text{NO}_3)_3$  and  $\text{Al}(\text{NO}_3)_3$ . The reaction is highly exothermic and  $\alpha\text{-Fe}_2\text{O}_3$ , respectively  $\alpha\text{-Al}_2\text{O}_3$  form.

Analytical grade  $\text{Fe}(\text{NO}_3)_3\cdot 9\text{H}_2\text{O}$ ,  $\text{Al}(\text{NO}_3)_3\cdot 9\text{H}_2\text{O}$  and urea have been used (Merck, Germany) as well as  $\text{SiO}_2$  as Ultrasil VN3 (Degussa).

After dosing, the nitrates and urea have been dissolved in a minimum amount of water, in porcelain capsule. In the case of the samples with  $\text{SiO}_2$  content, this has been added to the nitrate and urea solution forming a suspension.

The raw materials mixtures have been then subjected to water evaporation and ignition of the self-propagated combustion synthesis, in a preheated electric oven, at 300°C. The ignition moment is easily recognized by the burning with

au fost introduse pe rând într-un cupor electric preîncălzit la 300°C, pentru evaporarea rapidă a apei și inițierea reacției de combustie autopropagată. Momentul inițierii reacției se recunoaște după aprinderea amestecului, arderea cu flacără și incandescență.

Analiza fazală a probelor rezultate în urma combustiei s-a realizat prin difracție RX utilizând un aparat DRON 3, radiația Cu<sub>Kα</sub>. Pentru unele probe, comportarea în timpul încălzirii a fost urmărită prin analiză termogravimetrică, utilizând un aparat NETZCH STA 449C, viteză de încălzire 5°C/min, în atmosferă de aer static, în creuzete de aluminiu.

b) *Metoda bazată pe descompunerea unor săruri de fier a urmărit sinteza unor pulberi pe bază de Fe<sub>2</sub>O<sub>3</sub> singur sau în amestec cu SiO<sub>2</sub>. Ca săruri de fier s-au utilizat: oxalat de fier – Fe(COO)<sub>2</sub>·2H<sub>2</sub>O, alaun feriamoniacial – Fe<sup>3+</sup>(NH<sub>4</sub>)(SO<sub>4</sub>)<sub>2</sub>·12H<sub>2</sub>O, sare Mohr – Fe<sup>2+</sup>(NH<sub>4</sub>)<sub>2</sub>(SO<sub>4</sub>)<sub>2</sub>·6H<sub>2</sub>O de puritate analitică (Reactivul București). SiO<sub>2</sub> s-a introdus sub formă de Ultrasil VN3 (Degussa).*

În cazul probelor cu conținut de SiO<sub>2</sub>, acesta s-a amestecat umed cu sarea de fier într-o capsulă de portelan, după care a fost uscat în etuvă la 110°C și apoi mojarat.

Sărurile de fier, respectiv amestecurile cu Ultrasil au fost încărcate în creuzete de portelan și apoi calcinate în cupor electric la temperaturile minim necesare pentru descompunerea acestora, cu formare de Fe<sub>2</sub>O<sub>3</sub>. Aceste temperaturi au fost stabilite pe baza analizelor termice prealabile după cum urmează: pentru oxalatul de fier - 550°C, iar pentru alaunul feriamoniacial și sarea Mohr - 800°C. După calcinare, probele au fost supuse analizei fazale prin difracție RX.

Suprafața specifică BET a pulberilor obținute prin ambele metode a fost determinată prin adsorbție-desorbție de azot, utilizând un instrument MICROMERITICS ASAP 2020.

Toate pulberile obținute au fost testate pentru reținerea As<sup>3+</sup> din ape. Pentru compararea proprietăților adsorbante ale pulberilor față de As<sup>3+</sup> s-a utilizat o soluție sintetică preparată în laborator, având o concentrație inițială de 100 µg As<sup>3+</sup>/L. O cantitate de 0,1 g pulbere a fost adăugată la 100 mL soluție cu conținut de As<sup>3+</sup>, apoi agitată mecanic timp de 90 minute, separată prin centrifugare, după care s-a determinat concentrația de As<sup>3+</sup> rezidual din soluție prin spectrometrie de adsorbție atomică, utilizând un instrument Varian SpectrAA 110 cu sistem hidrură VGA 77.

### 3. Rezultate și discuții

Compoziția probelor obținute prin metoda combustiei, caracteristicile urmărite ale acestora și durata reacțiilor de combustie în fiecare caz sunt prezentate în tabelul 1.

Dozarea cantității de uree s-a făcut admitând că reacția acesteia cu cei doi azotați de fier,

flames and incandescence.

The phase analysis of the samples resulted from the combustion reaction has been investigated by XRD using a DRON 3 instrument, Cu<sub>Kα</sub> radiation. For some of the samples, the thermal behavior during heating has been pursued by thermal analysis, using a NETZCH STA 449C instrument, 5°C/min heating rate, alumina crucibles, in static air.

b) *Thermal decomposition of some iron salts aimed the synthesis of Fe<sub>2</sub>O<sub>3</sub> powders, alone or mixed with SiO<sub>2</sub>. There have been used analytical grade iron salts (Reactivul București): iron acetate - Fe(COO)<sub>2</sub>·2H<sub>2</sub>O, ammonium ferric alum – Fe<sup>3+</sup>(NH<sub>4</sub>)(SO<sub>4</sub>)<sub>2</sub>·12H<sub>2</sub>O, Mohr salt – Fe<sup>2+</sup>(NH<sub>4</sub>)<sub>2</sub>(SO<sub>4</sub>)<sub>2</sub>·6H<sub>2</sub>O. SiO<sub>2</sub> has been introduced as Ultrasil VN3 (Degussa).*

In the case of samples with SiO<sub>2</sub> content, this has been wet homogenized with the iron salt in a porcelain dish, dried at 110°C and the resulted mixture has been grinded in a mortar.

The iron salts and the mixtures with Ultrasil have been loaded in porcelain crucibles and annealed in an electric kiln at the minimum temperatures necessary for their decomposition with the formation of Fe<sub>2</sub>O<sub>3</sub>. These temperatures have been established based on the previous thermal analysis, as follows: for iron acetate - 550°C and for ammonium ferric alum and Mohr salt - 800°C. After annealing, the samples have been subjected to XRD phase analysis.

The BET surface area of the samples obtained by both methods has been established by nitrogen adsorption-desorption using a MICROMERITICS ASAP 2020 INSTRUMENT.

All the obtained powders have been tested for As<sup>3+</sup> adsorption from water. In order to compare the adsorption capacity of the samples, a synthetic solution prepared in the laboratory has been used, having an initial concentration of 100 µg As<sup>3+</sup>/L. 0.1 g of powder were added to 100mL of As<sup>3+</sup> containing solution.

The mixture was mechanically stirred for 90 minutes and then subjected to centrifugal separation. The residual As<sup>3+</sup> concentration in the remaining solution was established by atomic absorption spectroscopy, using a Varian SpectrAA 110 instrument with VGA 77 hydride generation system.

### 3. Results and discussion

The composition of the samples obtained via combustion synthesis, their pursued characteristics and combustion reaction duration in each case are presented in table 1.

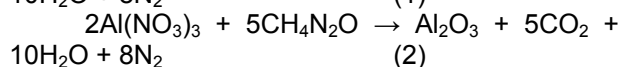
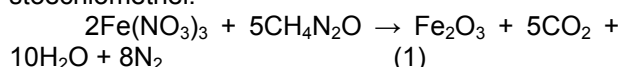
Urea was dosed considering its reaction with iron aluminum nitrates as respecting the following stoichiometry:

Tabelul 1

Nr. probă Sample no.	Compoziția (%) masă) Composition (mass %)			Durata reacției de combustie (sec) Combustion reaction duration (sec)	Compoziția fazală a pulberilor/ Phase composition of the obtained powders	Suprafața specifică BET (m <sup>2</sup> /g)/ Specific surface BET (m <sup>2</sup> /g)	Capacitatea de adsorbție (μg As <sup>3+</sup> /g) Adsorption capacity (μg As <sup>3+</sup> /g)
	Fe <sub>2</sub> O <sub>3</sub>	Al <sub>2</sub> O <sub>3</sub>	SiO <sub>2</sub>				
1	100	-	-	35	H, M	1.56	70.1
2	80.0	-	20.0	57	H, M	16.48	82.5
3	66.6	-	33.4	64	H, M	38.00	83.9
4	50.0	-	50.0	(mocnit/ smouldering)	H, M	82.92	81.7
5	61.0	39.0	-	52	δ-Al <sub>2</sub> O <sub>3</sub>	34.27	62.9
6	48.8	31.2	20.0	52	δ-Al <sub>2</sub> O <sub>3</sub>	48.18	57.5
7	40.7	25.9	33.4	60	δ-Al <sub>2</sub> O <sub>3</sub>	77.32	45.1

H – hematit/hematite ( $\alpha$ - Fe<sub>2</sub>O<sub>3</sub>); JCPDS: 33-0664 [22]  
M – magnetit/magnetite (Fe<sub>3</sub>O<sub>4</sub>); JCPDS: 19-0629 [22]

respectiv aluminiu decurge conform stoechiometriei:



Prezența SiO<sub>2</sub> în amestecurile de reacție are un efect de moderare a reacției de combustie; viteza de reacție scade, iar temperatura din amestec în timpul combustiei se reduce și ea odată cu creșterea conținutului de SiO<sub>2</sub>. Faza principală din pulberile 1, 2, 3 și 4 este hematitul, alături de o proporție redusă de magnetit. În figura 1 sunt prezentate spectrele de difracție RX ale probelor 1, 3 și 4.

Interesant de remarcat este faptul că în proba 3 este prezent și cuarțul. Prezența acestuia ca rezultat al cristalinizării SiO<sub>2</sub> este oarecum surprinzătoare; ea poate fi eventual explicată prin desfășurarea procesului de cristalinizare în prezența Fe<sub>2</sub>O<sub>3</sub> într-o formă născândă din procesul de combustie și cu un efect pronunțat de inițiere a cristalinizării.

Trebuie precizat că pulberea inițială de Ultrasil are o suprafață specifică ridicată, acesta fiind și motivul principal pentru care s-a făcut acest adăos la probele studiate, asociat cu efectul de moderare a reacțiilor de combustie, care în final conduce la creșterea suprafeței specifice a Fe<sub>2</sub>O<sub>3</sub> însuși.

Valorile suprafețelor specifice ale probelor 1, 2, 3 și 4 arată că din acest punct de vedere premizele de la care s-a pornit sunt corecte. Probele 5, 6 și 7 se deosebesc de probele 1, 2 și 3 prin faptul că oxidul format prin combustie este reprezentat de Fe<sub>2</sub>O<sub>3</sub> și Al<sub>2</sub>O<sub>3</sub>, în raport molar 1:1. Reacțiile de combustie a acestora decurg similar cu cele din cazul probelor 1, 2 și 3, dar pe spectrele de difracție RX (fig. 1) lipsesc atât hematitul ( $\alpha$ -Fe<sub>2</sub>O<sub>3</sub>) cât și  $\alpha$ -Al<sub>2</sub>O<sub>3</sub> chiar și în proba 5 lipsită de SiO<sub>2</sub>, deși reacția de combustie a decurs energetic (chiar mai energetic decât în proba 1).

Maximele de difracție foarte largi și puțin intense aflate la valori ale unghiurilor 2θ între 30° și 32° și între 36° și 37° pot fi atribuite eventual unei

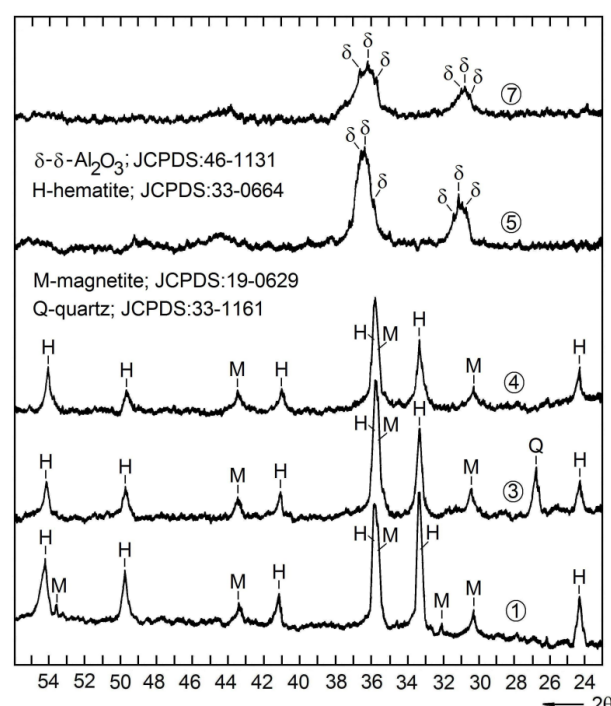
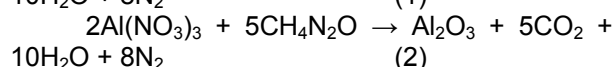
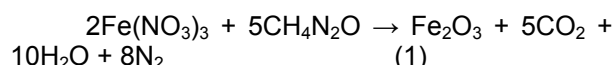


Fig. 1 - Spectrele de difracție RX ale probelor obținute prin metoda combustiei / X-Ray diffraction patterns of the samples obtained via combustion synthesis.



SiO<sub>2</sub> presence in the reaction mixtures has a moderating effect on the combustion reaction; the reaction rate and the mixture temperature decrease as the SiO<sub>2</sub> content increases. The main phase in samples 1, 2, 3 and 4 is hematite and a small proportion of magnetite is also present. In figure 1 there are presented the XRD patterns of samples 1, 3 and 4.

It is interesting to notice that quartz is also present in sample 3. As a result of SiO<sub>2</sub> crystallization, this is rather surprising and can be eventually explained by the crystallization in the

faze δ-Al<sub>2</sub>O<sub>3</sub> (JCPDS: 46-1131) având însă un spectru de difracție RX care prezintă abateri de la cel standard. Aceasta s-ar putea explica prin producerea unor substituții Al<sup>3+</sup> → Fe<sup>3+</sup> în structura cristalină derivată de la δ-Al<sub>2</sub>O<sub>3</sub>, cu deformări ale rețelei cristaline și totodată lipsa din spectru a maximelor caracteristice atât pentru α-Fe<sub>2</sub>O<sub>3</sub> cât și pentru α-Al<sub>2</sub>O<sub>3</sub>.

Suprafețele specifice ale probelor 5, 6 și 7 sunt mult superioare probelor similare fără conținut de Al<sub>2</sub>O<sub>3</sub> (1, 2 și 3) ceea ce reflectă temperatura mai joasă din probe. Astfel de suprafețe specifice ridicate pot fi explicate prin prezența modificării δ-Al<sub>2</sub>O<sub>3</sub> [23].

Analizele termice pentru probele 1 și 3 sunt prezentate în figura 2.

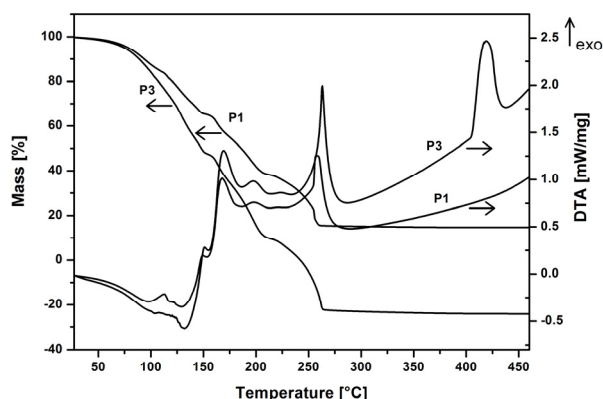


Fig. 2 - Curbele termogravimetrice și analiza termică diferențială pentru amestecurile precursoare de compoziție 1 și 3./ TG and DTA curves for precursor mixtures of 1 and 3 compositions.

Se observă că inițierea și desfășurarea reacției de combustie - pusă în evidență prin efectele puternic exoterme între 150 și 280°C pe curbele DTA – este precedată de efecte endotermice suprapuse care pot fi atribuite începutului de descompunere a ureei și azotatului de fier. Atât procesele endotermice, cât și cele exotermice de combustie sunt însoțite de pierdere de masă. Din punct de vedere al reacției de combustie, probele 1 și 3 au o comportare practic identică. Diferența majoră între curbele DTA ale celor două probe apare între 400 și 450°C, când pe curba DTA a probei 3 (cu conținut de SiO<sub>2</sub>) apare un efect exoterm pronunțat. În acord cu analiza fazală prin difracție RX, acest efect exoterm este atribuit cristalizării SiO<sub>2</sub> cu formare de quart - justificată prin condițiile cu totul particulare în care se află SiO<sub>2</sub> în această probă. Este de remarcat faptul că procesul exoterm între 400 și 450°C nu este însoțit de variație de masă.

Analizele termice ale probelor 5 și 7 în care Fe<sub>2</sub>O<sub>3</sub> și Al<sub>2</sub>O<sub>3</sub> se află în raport molar 1:1 sunt prezentate în figura 3.

Se remarcă unele asemănări între curbele DTA ale probelor 1, 3 pe de o parte și 5, 7 pe de altă parte, în privința existenței unor efecte endo-

presence of Fe<sub>2</sub>O<sub>3</sub> in a native form resulted from the combustion process, with a marked crystallization initiation effect.

It has to be said that the initial Ultrasil powder has a high surface area – this being one of the reasons for the choice of this addition to the studied samples, associated with the moderation effect of the combustion reactions, which in the end lead to the increase of Fe<sub>2</sub>O<sub>3</sub> surface area.

The values for samples 1, 2, 3 and 4 surface areas show that from this point of view the starting premises were correct.

Samples 5, 6 and 7 differ from sample 1, 2 and 3 by the oxides resulted from the combustion process, which are Fe<sub>2</sub>O<sub>3</sub> and Al<sub>2</sub>O<sub>3</sub> in a molar ratio of 1:1. The combustion reactions in these cases are similar to those of sample 1, 2 and 3, except that on the XRD patterns (fig. 1) both hematite (α-Fe<sub>2</sub>O<sub>3</sub>) and α-Al<sub>2</sub>O<sub>3</sub> are missing, even in the case of sample 5 lacking SiO<sub>2</sub>, although the combustion reaction is very energetic (even more energetic than in case of sample 1).

The diffraction maxima are very wide and little intense, at values of 2θ between 30° and 32°, respectively between 36° and 37°. They can be eventually assigned to a δ-Al<sub>2</sub>O<sub>3</sub> phase (JCPDS: 46-1131) having a diffraction pattern different from the standard one. This may be explained by some Al<sup>3+</sup> → Fe<sup>3+</sup> substitutions in the crystalline network derived from δ-Al<sub>2</sub>O<sub>3</sub>, with crystalline network deformation and thus the lack of the α-Fe<sub>2</sub>O<sub>3</sub> and α-Al<sub>2</sub>O<sub>3</sub> maxima from the diffraction pattern.

The surface area of samples 5, 6 and 7 are much superior to that of the similar samples without Al<sub>2</sub>O<sub>3</sub> (1, 2 and 3), which reflects the lower temperature during the reaction. Such high surface area can also be explained by the presence of δ-Al<sub>2</sub>O<sub>3</sub> [23].

The result of the thermal analysis for samples 1 and 3 are presented in figure 2.

One can observe that the ignition and combustion reaction evidenced on the DTA curves by the highly exothermal effects between 150 and 280°C, which are preceded by overlapped endothermal effects assigned to urea and iron nitrate decomposition. Both endothermal and exothermal effects are accompanied by mass loss. From the point of view of the combustion reaction, sample 1 and 3 show practical identical behavior. The major difference between the DTA curves for the two samples appears between 400 and 450°C, when the DTA curve of sample 3 (with SiO<sub>2</sub>) content shows a marked exothermal effect. In accordance with the XRD analysis, this effect is assigned to SiO<sub>2</sub> crystallization with the formation of quartz – justified by the particular state of SiO<sub>2</sub> in this sample. It is noteworthy that the exothermal effect between 400 and 450°C is not accompanied by mass loss. The thermal analysis of samples 5 and 7, in which the molar ratio Fe<sub>2</sub>O<sub>3</sub>: Al<sub>2</sub>O<sub>3</sub> is 1:1 are presented in figure 3.

terme care preced procesul de combustie și apoi efectele exoterme aferente combustiei. Faptul că efectele exoterme sunt mai puțin pronunțate în probele 5 și 7 decât în probele 1 și 3 sugerează o incomodare reciprocă a reacțiilor de combustie la care participă cei doi azotați (de fier, respectiv aluminiu); aşa se poate explica și durata mai lungă a reacției de combustie în probele 5 și 7 în raport cu 1 și 3. Lipsa hematitului și de asemenea a  $\alpha$ -Al<sub>2</sub>O<sub>3</sub> în aceste probe reflectă o temperatură mai joasă în amestecul de reacție comparativ cu proble 1 și 3.

De remarcat este faptul că pe curba DTA a probei 7 (cu conținut de SiO<sub>2</sub>) lipsește un efect exoterm între 400 și 450°C similar probei 3, dar lipsește și quartul din spectrul de difracție RX al acestei probe.

Proprietățile adsorbante ale pulberilor obținute prin metoda combustiei, apreciate prin cantitatea de As<sup>3+</sup> reținută de 1g material adsorbant, în condițiile de lucru precizate, arată că:

- pentru probele 1, 2, 3, odată cu creșterea suprafeței specifice prin prezența SiO<sub>2</sub> în timpul combustiei, proprietățile adsorbante se îmbunătățesc sensibil, până la un conținut de 33,4% SiO<sub>2</sub> în probe. Trebuie precizat că proprietățile adsorbante trebuie raportate practic numai la masa de Fe<sub>2</sub>O<sub>3</sub> din probe, deoarece SiO<sub>2</sub> (Ultrasil) singur nu a prezentat capacitate de reținere a As<sup>3+</sup>. Prezența SiO<sub>2</sub> în aceste pulberi este importantă și în perspectiva imobilizării deșeurilor cu conținut de As<sup>3+</sup> rezultat în matrice vitroase;

- pentru probele 5, 6 și 7 care prezintă suprafețe specifice mult superioare în raport cu probele 1, 2 și 3 proprietățile adsorbante sunt sensibil inferioare. Aceasta arată că substituția parțială a Fe<sub>2</sub>O<sub>3</sub> cu Al<sub>2</sub>O<sub>3</sub> (raport molar 1:1), deși determină creșterea suprafeței specifice nu se regăsește în îmbunătățirea proprietăților adsorbante. Explicația este aceea că Fe<sub>2</sub>O<sub>3</sub> – faza activă în reținerea As<sup>3+</sup> este prezentă în proporție prea redusă.

Compoziția probelor obținute prin calcinarea unor săruri de fier și caracteristicile acestora sunt prezentate în tabelul 2.

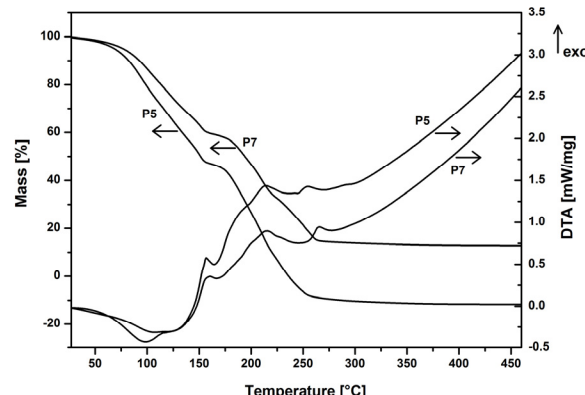


Fig. 3 - Curbele termogravimetrice și analiza termică diferențială pentru amestecurile precursoare de compozitie 5 și 7./ TG and DTA curves for precursor mixtures of 5 and 7 compositions.

Some similarities may be noticed between the DTA curves of sample 1, 3 on one hand and 5, 7 on the other hand, referred to the endothermal and exothermal effects. The less nuanced exothermal effects in the case of samples 5 and 7 suggest a reciprocal inconvenience of the combustion reactions involving the two nitrates (iron and aluminum); this may explain the longer reaction duration in the case of samples 5 and 7 compared with 1 and 3. The lack of hematite and  $\alpha$ -Al<sub>2</sub>O<sub>3</sub> in these samples reflect a lower temperature in the reaction mixture, compared with samples 1 and 3.

It is noteworthy that the DTA curve of sample 7 (with SiO<sub>2</sub> content) does not exhibit an exothermal effect between 400 and 450°C, but quartz is also missing from the XRD pattern of this sample.

The adsorbent properties of the samples obtained via combustion synthesis, assessed by the As<sup>3+</sup> amount retained by 1 g of adsorbent material in the previously mentioned working conditions show that:

- the adsorbent properties of samples 1, 2 and 3 are significantly improved with the increase

Tabelul 2

Caracteristicile probelor obținute prin calcinarea unor săruri de fier, respectiv ale SiO<sub>2</sub> utilizat  
Characteristics of the samples obtained by iron salts annealing, respectively the used SiO<sub>2</sub>.

Nr. probă Sample no.	Sarea utilizată Used salt	Conținutul de SiO <sub>2</sub> (raport masă Fe <sub>2</sub> O <sub>3</sub> /SiO <sub>2</sub> ) SiO <sub>2</sub> content (Fe <sub>2</sub> O <sub>3</sub> /SiO <sub>2</sub> mass ratio)	Temperatura de calcinare (°C) Annealing temperature (°C)	Compoziția fazală Phase composition	Suprafața specifică BET (m <sup>2</sup> /g) Specific surface BET (m <sup>2</sup> /g)	Capacitatea de adsorbție ( $\mu$ g As <sup>3+</sup> /g) Adsorption capacity ( $\mu$ g As <sup>3+</sup> /g)
8	Fe(COO) <sub>2</sub> ·2H <sub>2</sub> O	-	550	H	14.57	94.5
9	Fe(COO) <sub>2</sub> ·2H <sub>2</sub> O	1:1	550	H	78.01	92.5
10	Fe(COO) <sub>2</sub> ·2H <sub>2</sub> O	1:2	550	H	97.20	91.1
11	Fe <sup>3+</sup> (NH <sub>4</sub> )(SO <sub>4</sub> ) <sub>2</sub> ·12H <sub>2</sub> O	1:1	800	H	57.01	53.0
12	Fe <sup>4+</sup> (NH <sub>4</sub> ) <sub>2</sub> (SO <sub>4</sub> ) <sub>2</sub> ·6H <sub>2</sub> O	1:1	800	H	57.01	81.5
13	Ultrasil VN3	-	-	amorf amorphous	144.04	0

Spectrele de difracție RX ale probelor 8, 9 și 10 obținute prin calcinarea  $\text{Fe}(\text{COO})_2 \cdot 2\text{H}_2\text{O}$  singur, respectiv în amestec cu Ultrasil, arată că singura fază cristalină prezentă este hematitul (fig.2).  $\text{SiO}_2$  rămâne într-o stare amorfă, aşa cum era de așteptat. Suprafața specifică a celor trei probe crește pronunțat cu creșterea conținutului de  $\text{SiO}_2$ .

Capacitatea de adsorbție a pulberilor 8, 9 și 10 este foarte apropiată, însă trebuie ținut cont că proporția de  $\text{Fe}_2\text{O}_3$ , (faza activă în reținerea  $\text{As}^{3+}$ ) scade treptat la 1/3 (masă) de la proba 8 la proba 10, fapt ce ne permite să afirmăm raportându-ne numai la masa  $\text{Fe}_2\text{O}_3$  din probe, că o dată cu creșterea cantității de  $\text{SiO}_2$  are loc creșterea capacitatii de adsorbție. Datorită faptului că introducerea de  $\text{SiO}_2$  în rețete duce atât la creșterea suprafeței specifice cât și la îmbunătățirea capacitatii de adsorbție s-au studiat în continuare probe cu același conținut de  $\text{SiO}_2$  dar în care diferă sursa de fier (probele 11 și 12).

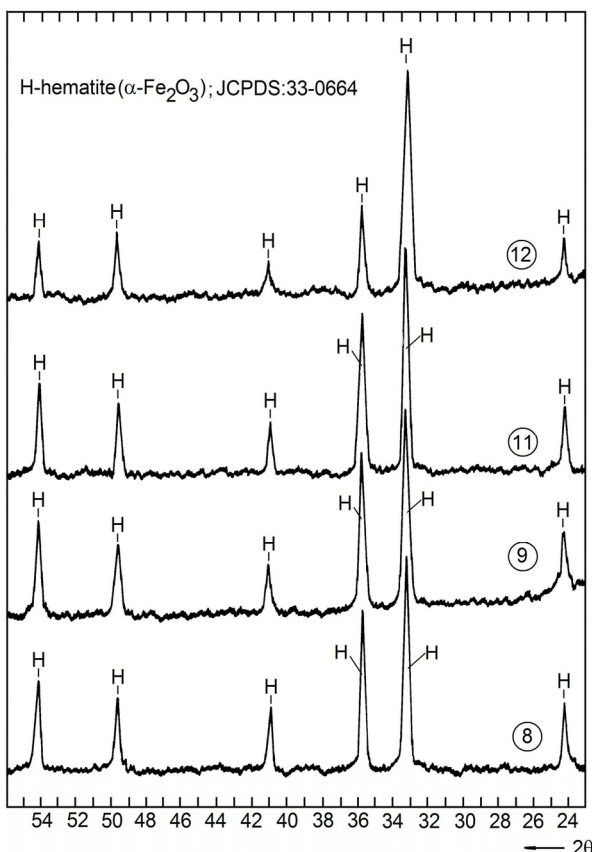


Fig. 4 - Spectrele de difracție RX ale probelor obținute prin calcinarea unor săruri / X-Ray diffraction patterns of the samples obtained by iron salts annealing

Probele 11 și 12 obținute prin calcinarea sulfatului de  $\text{Fe}^{3+}$  și amoniu, respectiv a sulfatului de  $\text{Fe}^{2+}$  și amoniu în amestec cu  $\text{SiO}_2$ , la  $800^\circ\text{C}$  conțin hematitul ca singura fază cristalină (fig. 4). Suprafața lor specifică este practic identică ( $57,01 \text{ m}^2/\text{g}$ ) însă proba 12 obținută prin calcinarea sulfatului de  $\text{Fe}^{2+}$  și amoniu în amestec cu Ultrasil are o capacitate de adsorbție față de  $\text{As}^{3+}$  sensibil mai ridicată decât proba 11. Proprietățile adsorbante ale pulberilor 8, 9

of the surface area due to  $\text{SiO}_2$  presence, up to 33.4%  $\text{SiO}_2$ . The adsorbent capacity has to be correlated to the  $\text{Fe}_2\text{O}_3$  content of the sample, since  $\text{SiO}_2$  alone (Ultrasil) does not develop any retention activity of  $\text{As}^{3+}$ . The presence of  $\text{SiO}_2$  in the tested powders is also important in the perspective of the  $\text{As}^{3+}$  waste immobilization in vitreous matrices;

- for samples 5, 6 and 7 with much higher surface area compared with samples 1, 2 and 3, the adsorbent properties are inferior. This proves that partial substitution of  $\text{Fe}_2\text{O}_3$  with  $\text{Al}_2\text{O}_3$  (molar ratio 1:1) does not lead to an improvement of the adsorbent capacity, although it determines the increase of the surface area. The explanation for this situation is that the proportion of  $\text{Fe}_2\text{O}_3$ , which is the active phase in  $\text{As}^{3+}$  retention, is simply too low.

The composition and features of the samples obtained by the annealing of some iron salts are presented in table 2.

The XRD patterns of samples 8, 9 and 10 obtained by the annealing of  $\text{Fe}(\text{COO})_2 \cdot 2\text{H}_2\text{O}$  alone and mixed with Ultrasil show that the only present phase is hematite (Fig. 2).  $\text{SiO}_2$  remains in an amorphous state, as expected. The adsorption capacity of powders 8, 9 and 10 is very close, but one has to take into account the  $\text{Fe}_2\text{O}_3$  proportion decreases gradually to 1/3 (mass) in the case of sample 10. If one refers only to the  $\text{Fe}_2\text{O}_3$  proportion (active phase) in the samples, it may be said that the absorption capacity increases with the  $\text{SiO}_2$  content of the samples. Since the presence of  $\text{SiO}_2$  leads to the increase of the surface area and absorption capacity, there have been studied samples with the same content of  $\text{SiO}_2$  and different iron salts (samples 11 and 12).

Samples 11 and 12 obtained by the annealing of  $\text{Fe}^{3+}$  ammoniacal double sulphate (ammonium ferric alum) alone, respectively mixed with  $\text{SiO}_2$  contain at  $800^\circ\text{C}$  hematite as single phase (Fig.4). Their surface area is practically identical ( $57,01 \text{ m}^2/\text{g}$ ), but sample 12 obtained by the annealing of  $\text{Fe}^{3+}$  ammoniacal double sulphate mixed with Ultrasil develops an absorption capacity significantly higher than sample 11.

The adsorbent properties of samples 8, 9 and 10 obtained from iron oxalate are rather good compared to the samples obtained via combustion synthesis. Reporting the adsorbent properties to the  $\text{Fe}_2\text{O}_3$  content of samples 9 and 10, one can say that the presence of  $\text{SiO}_2$  significantly improves the adsorption capacity of the powders. A possible explanation for this situation refers to the hydroxilate character of the Ultrasil particles (even after annealing at  $500^\circ\text{C}$ ), which leads to their hydration and dispersion of the  $\text{Fe}_2\text{O}_3$  agglomerations, in the presence of the aqueous solutions with  $\text{As}^{3+}$  content.

The very good adsorbent properties of the samples obtained starting from iron oxalate may

și 10 obținute din oxalat de fier pot fi apreciate ca fiind mai bune comparativ cu pulberile obținute prin combustie. Dacă raportăm proprietățile adsorbante la conținutul de  $\text{Fe}_2\text{O}_3$  din probele 9 și 10, ținând cont că  $\text{SiO}_2$  singur nu a dezvoltat proprietăți adsorbante (proba 13), atunci se poate spune că prezența  $\text{SiO}_2$  a amplificat semnificativ proprietățile adsorbante ale  $\text{Fe}_2\text{O}_3$ . O explicație posibilă pentru această comportare se poate pune pe seama caracterului hidroxilat al particulelor de Ultrasil (chiar și după calcinare la  $500^\circ\text{C}$ ), care în soluțiile apoase cu conținut de  $\text{As}^{3+}$  favorizează hidratarea acestora și contribuie la dispersarea aglomerărilor formate de  $\text{Fe}_2\text{O}_3$ .

Proprietățile adsorbante foarte bune ale pulberilor obținute pornind de la oxalat de fier pot fi asociate și cu prezența în proporție redusă a cationilor  $\text{Fe}^{2+}$  ca rezultat al temperaturii reduse și atmosferei reducătoare din timpul descompunerii. Aceasta sugerează o structură cu defecte pentru faza principală din pulberi ( $\alpha\text{-Fe}_2\text{O}_3$ ) sau chiar prezența într-o stare amorfă a magnetitului. Probele 11 și 12 prezintă proprietăți adsorbante mai slabe decât cele obținute pornind de la oxalat în amestec cu  $\text{SiO}_2$ .

#### 4. Concluzii

- Pulberile de  $\text{Fe}_2\text{O}_3$  obținute prin metoda combustiei pornind de la azotat de fier și uree reprezintă o soluție potențială pentru depoluarea apelor cu conținut de  $\text{As}^{3+}$ . Proprietățile adsorbante ale acestor pulberi pot fi reglate în limite largi intervenind asupra condițiilor de desfășurare a reacției, spre exemplu prin adaosul de  $\text{SiO}_2$  (Ultrasil). Pe lângă efectul pozitiv al  $\text{SiO}_2$  asupra proprietăților adsorbante ale pulberilor, prezența acestuia în deșeu cu conținut de  $\text{As}^{3+}$  rezultat este favorabilă și în perspectiva imobilizării acestui deșeu în matrici vitroase.

- Oxidul de fier obținut prin calcinarea unor săruri de  $\text{Fe}^{2+}$  sau  $\text{Fe}^{3+}$  prezintă proprietăți adsorbante față de  $\text{As}^{3+}$  din ape, care variază mult în funcție de sarea precursoare și eventuala prezență a  $\text{SiO}_2$  (Ultrasil) în amestec. Cele mai bune proprietăți adsorbante le prezintă oxidul de fier obținut prin calcinarea oxalatului de fier la  $500^\circ\text{C}$ . Prezența  $\text{SiO}_2$  în amestec cu  $\text{Fe}_2\text{O}_3$  obținut din oxalat păstrează proprietăți de adsorbție a  $\text{As}^{3+}$  foarte bune chiar și pentru un raport de masă  $\text{Fe}_2\text{O}_3/\text{SiO}_2 = 1:1$  sau  $1:2$ . Această comportare este favorabilă pentru perspectiva imobilizării deșeului în matrici vitroase.

#### REFERENCES

- P. Negrea, A. Negrea, L. Lupa, and L. Mitoi, The influence of the interferents from the samples matrix on the arsenite analysis by HG-AAS, Proceedings of the International Symposium on Trace Elements in Food Chain, Budapest, 25-27 May 2007, edited by the Working Committee on Trace Elements of the Complex Committee, Hungarian Academy of Sciences (HAS) and Institute of Materials and Environmental Chemistry of the HAS, 92.
- P. Chutia, S. Kato, T. Kojima, and S. Satokawa, Arsenic adsorption from aqueous solution on synthetic zeolites, Journal of Hazardous Materials, 2009, **162** (1), 440.
- J. Jeong, M. Fan, S. Singh, C.-L. Chuang, B. Saha, and J. H. Leeuwen, Evaluation of iron oxide and aluminum oxide as potential arsenic (V) adsorbents, Chemical Engineering and Processing, 2007, **46** (10), 1030.
- S.K. Maji, A. Pal, and T. Pal, Arsenic removal from real-life groundwater by adsorption on laterite soil, Journal of Hazardous Materials 2008, **151** (2-3), 811.
- D. Borah, S. Satokawa, S. Kato, and T. Kojima, Surface-modified carbon black for As (V) removal, Journal of Colloid and Interface Science, 2008, **319** (1), 53.
- K. Ohe, Y. Tagai, S. Nakamura, T. Oshima and Y. Baba, Adsorption behaviour of arsenic(III) and arsenic(V) using magnetite, Journal of Chemical Engineering of Japan, 2005, **38** (8), 671.
- O.S. Thirunavukkarasu, T. Viraraghavan and K.S. Subramanian, Arsenic removal from drinking water using granular ferric hydroxide, Water SA, 2003, **29** (2), 161.
- Le Zeng, A method for preparing silica-containing iron (III) oxide adsorbents for arsenic removal, Water Research, 2003, **37** (18), 4351.
- S. Kundu and A.K. Gupta, As(III) removal from aqueous medium in fixed bed using iron oxide-coated cement (IOCC): Experimental and modeling studies, Chemical Engineering Journal, 2007, **129** (1-3), 1223.

be also associated to the presence in a limited proportion of  $\text{Fe}^{2+}$  cations, as a result of low temperature and reducing atmosphere during the thermal decomposition. This suggests a defect structure of the main phase in the powders ( $\alpha\text{-Fe}_2\text{O}_3$ ) or even the presence of amorphous magnetite. Samples 11 and 12 develop lower absorption capacity than those obtained from oxalate mixed with  $\text{SiO}_2$

#### 4. Conclusions

-  $\text{Fe}_2\text{O}_3$  powders obtained via combustion synthesis starting from iron nitrate and urea represent a potential solution for  $\text{As}^{3+}$  water decontamination. The adsorbent properties of these powders may be tuned in a large range by changing the reaction conditions, for example by  $\text{SiO}_2$  (Ultrasil) addition. Alongside the positive effect of  $\text{SiO}_2$  upon the adsorbent properties of the analyzed powders, this is very important for the future immobilization of the  $\text{As}^{3+}$  containing waste in vitreous matrices.

- The iron oxide obtained by the annealing of some  $\text{Fe}^{2+}$  and  $\text{Fe}^{3+}$  salts show adsorption capacity towards  $\text{As}^{3+}$ , which vary a lot depending on the used salt and the presence of  $\text{SiO}_2$  (Ultrasil) in the mixture. The iron oxide obtained by the annealing of iron oxalate at  $500^\circ\text{C}$  shows the highest absorption capacity among the tested powders. The presence of  $\text{SiO}_2$  mixed with  $\text{Fe}_2\text{O}_3$  from oxalate preserves very good absorption properties of the samples, even for a mass ratio  $\text{Fe}_2\text{O}_3/\text{SiO}_2 = 1:1$  or  $1:2$ . This behaviour is very favourable for the perspective of the waste immobilization in vitreous matrices.

10. N.P. Nikolaidis, G.M. Dobbs and J.A. Lackovic, Arsenic removal by zero-valent iron: field, laboratory and modeling studies, *Water Research*, 2003, **37** (6), 1417.
11. L. Zeng, Arsenic adsorption from aqueous solution on an Fe(III) – Si binary oxide adsorbent, *Water Quality Research Journal of Canada*, 2004, **39** (3), 267.
12. G. Zhimang, J. Fang, and B. Deng, Preparation and evaluation of GAC-based iron containing adsorbent for arsenic removal, *Environmental Science and Technology*, 2005, **39** (18), 3833.
13. S. Kuriakose, T. S. Singh, and K. K. Pant, Adsorption of As(III) from aqueous solution onto iron oxide impregnated activated alumina, *Water Quality Research Journal of Canada*, 2004, **39** (3), 258..
14. Y. Masue, R. H. Loepert, and T.A. Kramer, Arsenate and arsenite adsorption and desorption behavior on coprecipitated aluminum : iron hydroxides, *Environmental Science and Technology*, 2007, **41** (3), 837.
15. K.C. Patil, S.T. Aruna and S. Ekambaram, Combustion synthesis, *Current Opinion in Solid State Materials Science*, 1997, **2**, 158.
16. K.C. Patil, S.T. Aruna and T. Mimani, Combustion synthesis: an update, *Current Opinion in Solid State Materials Science*, 2002, **6**, 5007.
17. J.J. Kingsley and K.C. Patil, A novel combustion process for the synthesis of fine particle  $\alpha$ -alumina and related oxide materials, *Materials Letters*, 1998, **6** (11-12), 427.
18. I. Lazău, C. Păcurariu, Z. Ecsedi and R. Ianoș, *Unconventional Synthesis Methods of Oxide Compounds*, Ed. POLITEHNICA, Timișoara, 2006 (in Romanian).
19. R. Ianoș, I. Lazău and C. Păcurariu, The synthesis of some oxides using combustion method. Study of the reactivity of different metal nitrates – fuels mixtures, *Romanian Journal of Materials*, 2006, **36** (2), 102.
20. R. Ianoș, An efficient solution for single-step synthesis of  $4\text{CaO}\cdot\text{Al}_2\text{O}_3\cdot\text{Fe}_2\text{O}_3$  powders, *Journal of Materials Research*, 2009, **24** (1), 245.
21. R. Ianoș, I. Lazău and C. Păcurariu, Synthesis of oxide compounds via combustion method, Ed. POLITEHNICA, Timișoara, 2008.
22. \*\*\* The Powder Diffraction File, JCPDS- Joint Committee on Powder Diffraction Standards International Centre for Diffraction Data, 1997.
23. Z. Ecsedi, I. Lazău and C. Păcurariu, Microstructural analysis of the effects of polyvinyl alcohol content on the porosity of sol-gel derived alumina ceramics, *Microporous And Mesoporous Materials*, 2009, **118**, 453.

---

## MANIFESTĂRI ȘTIINȚIFICE / SCIENTIFIC EVENTS

---

### International Congress on Glass 2010, ICG 2010 September 20 to 25 – 2010, Bahia, Brazil

The 22<sup>nd</sup> International Congress on Glass will gather important professionals in the fields of science, technology and production of glass, including manufacturers, suppliers, engineers, researchers and students in a series of talks and poster presentations covering a number of topics related to glass science and technology. Special focus will be given towards discussions on issues concerning “sustainability and the environment”

#### **TOPICS:**

##### **Glass science**

- Glass structure
- Glass surfaces
- Structural relaxation, glass transition, Kauzmann catastrophe and entropy
- Crystal nucleation, growth, liquid phase separation
- Glass formation and vitrification
- Glass properties (mechanical, chemical, thermal, rheological, optical, electrical, etc.)
- Bioactive glasses
- Optically active glasses
- Ionic and electronic conductor glasses
- Fracture-resistant glasses
- Sol-gel glasses
- Non-oxide glasses
- Metallic glasses
- Hybrid glasses
- Glass-ceramics
- Glasses with new functionalities
- New Glasses

##### **Technology and Glass Production**

- Raw materials and glass components
- Refractories for glass melting
- Melting and forming of glass
- Production, transformation and coatings in glass
- Energy savings in the production of glass
- Energy savings in the application of glass and CO<sub>2</sub> balance
- Environment, recycling and waste management
- Life cycle analysis (LCA) in the processes of glass and products
- New applications of glass
- Education in glass science and technology

**CONTACT:** <http://www.icg2010.com.br/>

---